

ژئوشیمی آپاتیت و رخداد اتحلال-تکنیک همگام و تشکیل کانی‌های عناصر نادر خاکی در آپاتیت‌های کانسار گزستان، ناحیه بافق، ایران مرکزی

رسول سپهری‌راد* و سعید علیرضایی^۱

^۱دانشجوی دکترا زمین‌شناسی اقتصادی، دانشکده علوم زمین، دانشگاه شهید بهشتی، تهران، ایران

^۲دانشیار، دانشکده علوم زمین، دانشگاه شهید بهشتی، تهران، ایران

تاریخ پذیرش: ۱۳۹۸/۰۱/۱۷

تاریخ دریافت: ۱۳۹۷/۰۸/۲۱

چکیده

کانسار مگنتیت-آپاتیت گزستان، در بخش معدنی بافق در بلوک پشت بادام، ایران مرکزی، در توالی آتشفسانی-رسوبی سری ریزو و توده‌های نفوذی نیمه عمیق فلزیک تا حد واسط پروتروزوئیک بالایی-کامبرین زیرین تشکیل شده است. کانسنگ شامل مگنتیت و آپاتیت است که به صورت توده‌های نامنظم با ابعاد متفاوت، و همین طور رگه‌ای، افشار و برشی رخ داده است. بر اساس تصاویر BSE، در بیشتر بلورهای آپاتیت زون‌های روشن و تیره به صورت نامنظم دیده می‌شود که با تغییرات شیمیایی همراه است. بر اساس آنالیز REE، Na، Cl EPMA مقادیر LREE، Ca کاهش یافته است. رخداد حاشیه‌های واکنشی در اطراف بلورهای آپاتیت، وجود میان‌بارهای کانی‌های عناصر نادر خاکی (مونازیت و زینوئیم) به شکل دانه‌های ریز و پراکنده و نیز پرکننده ترک‌های موئین در زون‌های تیره و تشکیل کانی‌های REEs در مرز بلورهای آپاتیت و مگنتیت، شواهدی از دگرگسانی و تحرک دوباره REEs، پس از تبلور اولیه آپاتیت در کانسار گزستان می‌باشد. شواهد موجود نشان می‌دهد که آپاتیت در کانسار گزستان، با سیال‌هایی برهم کشیده و به تعادل دوباره رسیده است. طی فرایند اتحلال-تکنیک همگام، بلورهای آپاتیت اولیه که به هنگام تشکیل کانسنگ آهن-آپاتیت پدید آمده‌اند، به طور بخشی با سیال برهم کشیده اند که این به جابجایی یا شستشو-رسوب دوباره برخی یون‌ها بويژه عناصر نادر خاکی، ایجاد زون‌های آپاتیت تیره و تشکیل دانه‌های ریز و پراکنده مونازیت و زینوئیم در زون‌های تیره و نیز در امتداد درزهای میکروسکوپی در آپاتیت، کلسیت و کوارتز منجر شده است.

کلیدواژه‌ها: دگرگسانی آپاتیت، مونازیت-زینوئیم، تیپ کایرون، گزستان، ایران مرکزی.

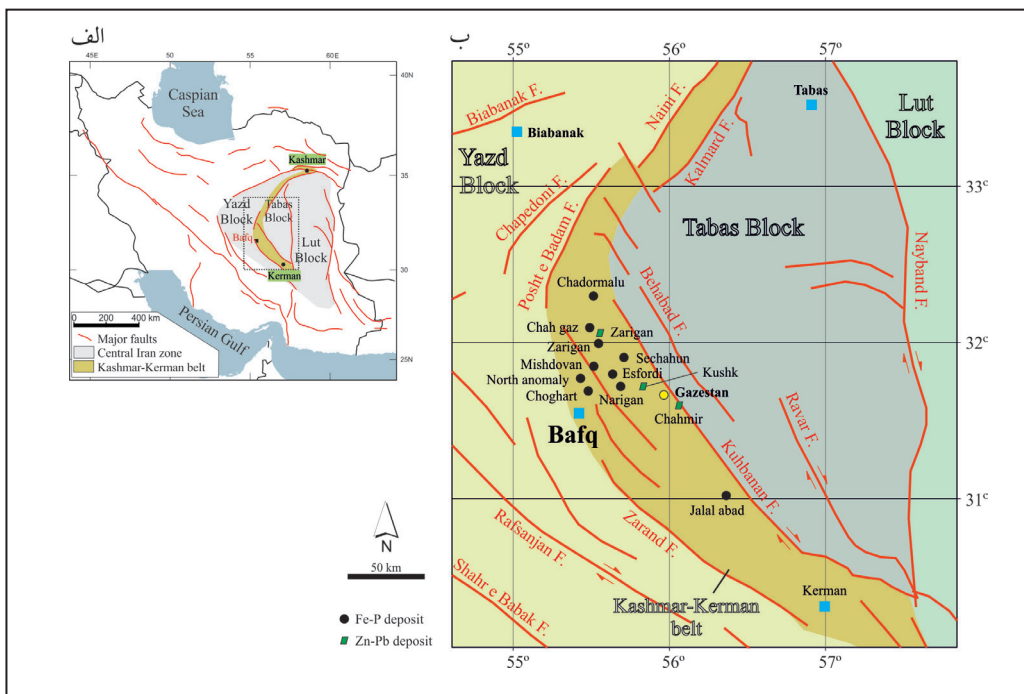
*نویسنده مسئول: رسول سپهری‌راد

E-mail: sepehrirad@gmail.com

۱- پیش‌نوشته

فلزیک تا حد واسط همراه هستند (Hitzman et al., 1992; Hitzman, 2000) و عموماً دارای نشانه‌هایی از متاسوماتیزم گسترده، در یک بازه بزرگ P-T هستند (Harlov et al., 2016). دگرگسانی آپاتیت، در اثر برهم کشش با شورابه‌ها، آب خالص و سیال‌های آگینگ اسیدی، در محدوده گسترده‌ای از دما (۹۰۰-۳۰۰ درجه سانتی گراد) و فشار (۱-۵ گیگاپاسکال) مطالعه شده است (Harlov et al., 2015). عناصر کمیاب و REEs به شکل گسترده می‌توانند در ساختار آپاتیت وارد شوند و مواد لازم برای تشکیل میان‌بارهای مونازیت و زینوئیم را فراهم نمایند. فرایندهای جانشینی REE در آپاتیت شامل $\text{REE}^{3+} + \text{SiO}_4^{4-} = \text{PO}_4^{3-} + \text{Ca}^{2+}$ و $\text{REE}^{3+} + \text{SiO}_4^{4-} = \text{PO}_4^{3-} + \text{Na}^+$ می‌باشد (Pan and Fleet, 2002). در هر دو مورد، وجود یک فاز سیال برای وارد کردن Na^+ و Si^{4+} و خارج ساختن P^{3+} لازم است (Harlov et al., 2002). کانسار گزستان همراه با دیگر کانسارهای مگنتیت-آپاتیت منطقه بافق، ایران مرکزی، در توالی آتشفسانی-رسوبی پروتروزوئیک بالایی-کامبرین زیرین شامل سنگ‌های آتشفسانی-رسوبی (سری ریزو) و نیمه عمیق فلزیک تا حد واسط تشکیل شده است (شکل ۱). در کانسار گزستان، کانسنگ بیشتر شامل مگنتیت و آپاتیت است و به صورت توده‌های نامنظم با ابعاد متفاوت، رگه‌ای، افشار و برشی رخ داده است. از ژئوشیمی آپاتیت و REEs همراه با آن، در کانسارهای چادرملو، چغارت، سه‌چاهون، اسفوردری، زریگان و لکه سیاه، در تعیین منشأ و تکامل سیال‌های کانه‌ساز و فرایندهای کانی‌سازی استفاده شده است (Jami, 2005; Daliran et al., 2010; Bonyadi et al., 2011; Taghipour et al., 2015; Rajabi et al., 2015; Heidarian et al., 2018) (Taghipour et al., 2015; Rajabi et al., 2015; Heidarian et al., 2018) مقاله، کانی‌شناسی، بافت و ترکیب شیمیایی آپاتیت و نقش دگرگسانی گرمابی در شکل گیری و تمرکز کانی‌های عناصر نادر خاکی (REEs) (مونازیت \pm زینوئیم) در کانسار گزستان بررسی شده است. همچنین داده‌های حاصل از گزستان با دیگر کانسارهای مگنتیت-آپاتیت ناحیه بافق مقایسه شده و عوامل کنترل کننده دگرگسانی بحث شده است.

کانسارهای آهن غنی از مگنتیت (Km (Ti)، فلوئور آپاتیت، اکتینولیت و فقیر از سولفید، به عنوان کانسارهای مگنتیت-آپاتیت تیپ کایرونایا یا کانسارهای اکسید آهن-آپاتیت (IOA)، شناخته می‌شوند (برای مثال، Hildebrand, 1986; Nyström and Henriquez, 1994; Frietsch and Perdahl, 1995; Hitzman et al., 1992; Williams et al., 2005). برخی از محققان (Groves et al., 2010; Barton, 2014) کانسارهای آهن تیپ کایرونایا را عضو انتهایی قرار می‌دانند. اکسید آهن-مس-طلاء (IOCG) در نظر گرفته‌اند، اگرچه ارتباط زایشی این کانسارها باحث انگیز است (Knipping et al., 2015 a, b). آپاتیت از همراهان معمول مگنتیت در کانسارهای IOA است (برای مثال، Heidarian et al., 2018; Harlov, 2015). با مطالعه آپاتیت به عنوان میزان برخی از عناصر کمیاب، می‌توان به جزئیات ژئوشیمیایی فرایندهای کانه ساز و تکامل سیال‌های همراه با این کانسارها دست یافت (Pan and Fleet, 2002; Harlov, 2015). آپاتیت در کانسارهای IOA، معمولاً دارای مقادیر بالایی از عناصر نادر خاکی سبک (Si, Na, Sr, Ba, (LREEs)، OH^- , CO_3^{2-} , Cl^- , F^-) و آنیون‌هایی چون SO_4^{2-} است. این اجزاء، به پارامترهایی مانند شیمی، درجه حرارت، pH و سیال در زمان تشکیل و نیز تحول بعدی کانسارهای IOA حساس هستند (Harlov, 2015; Mao et al., 2016). با استفاده از ژئوشیمی آپاتیت، Belousova et al., (2002) (Mao et al., 2016) نمودارهایی را برای تمایز محظوهای مختلف زمین‌شناسی و انواع کانی‌سازی پیشنهاد کرده‌اند. همچنین (Mao et al., 2016) از ژئوشیمی آپاتیت برای تفکیک انواع کانسارهای ماگمایی-گرمابی، کربناتی و سنگ‌های بدون کانی‌سازی و Rhodes et al. (1999) از ژئوشیمی REE برای اثبات مدل جانشینی گرمابی در کانسار آهن ال لاکو شیلی استفاده کرده‌اند. (Harlov et al., 2002) از روابط آپاتیت و مونازیت در کانسار کایرونایا برای مطالعه برهم کشش سیال-سنگ استفاده کرده است. کانسارهای مگنتیت-آپاتیت تیپ کایرونایا با سنگ‌های آتشفسانی تا نیمه عمیق

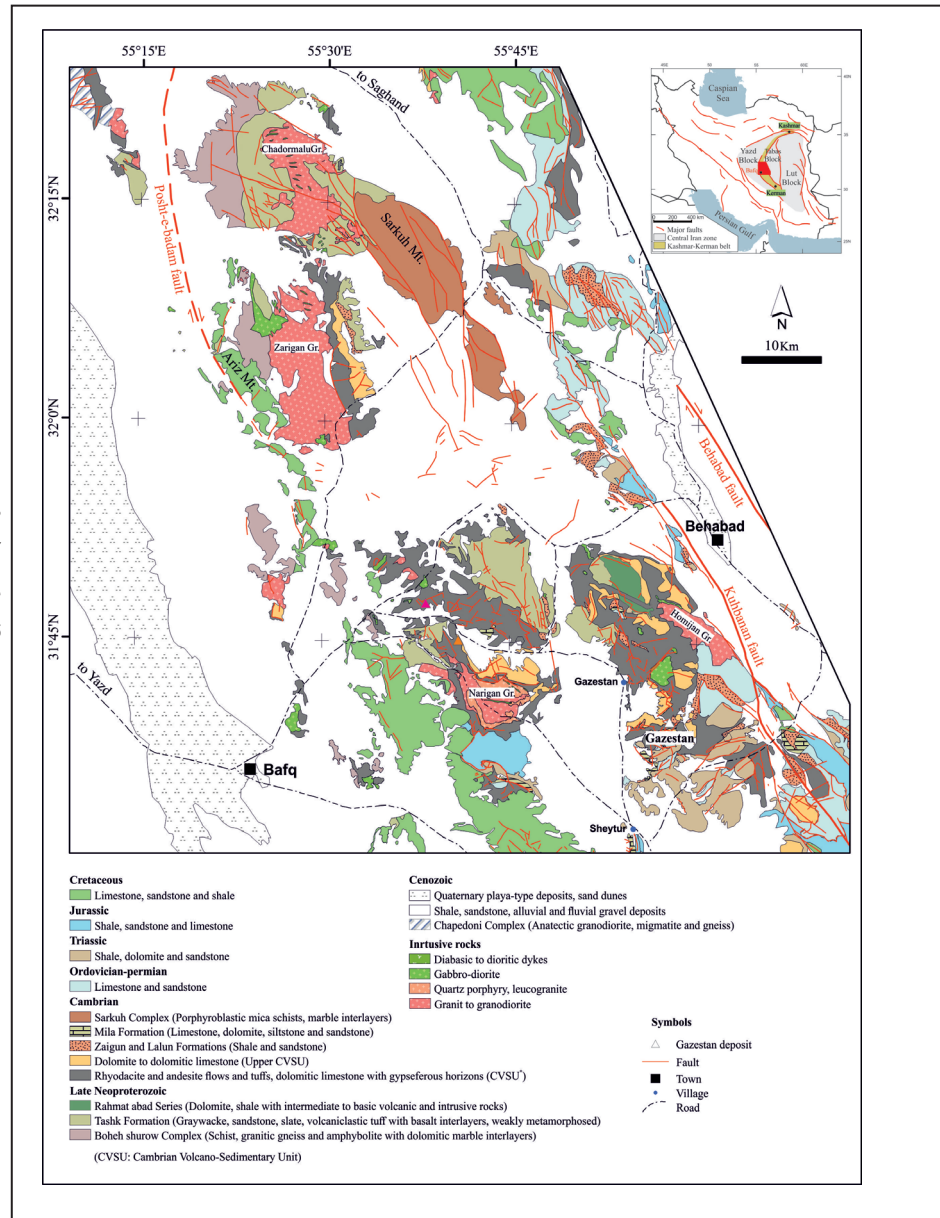


شکل ۱- (الف) موقعیت کمریند کاشمر-کرمان در ایران مرکزی، (ب) منطقه معدنی بافق در کمریند کاشمر-کرمان، با نمایش محل کانسار گزستان و برخی از کانسارهای مگنتیت-آپاتیت دیگر (Ramezani and Tucker, 2003 با تغییرات)

۲-زمین‌شناسی ناحیه‌ای

واحدهای سنگی رخمنون یافته در محدوده کانسار گزستان شامل سنگ‌های آتشفشاری و آشفلدی-رسوی، توده‌های نفوذی نیمه عمیق و سنگ‌های به شدت دگرسان شده (متاسوماتیت) می‌باشند کانی سازی است. سنگ‌های آتشفشاری شامل روانه‌های گدازه و مواد پیروکلاستیک است و ترکیب آندزیت، تراکی آندزیت، داسیت و رویولیت دارند. در جنوب کانسار روانه‌های گدازه با ترکیب آندزیت، تراکی آندزیت و داسیت و ایگنتمبریت با ترکیب داسیت تا رویولیت دارای ساخت نواری تشکیل شده است. در این سنگ‌ها فلدسپارهای پاتاسیم و پلاژیوکلاز کمایش به کانی‌های رسی، سریسیت و کلریت دگرسان شده‌اند. همچنین در بخش جنوب پهنه کانی‌سازی، توف‌های فلیسیک آلیتی شده رخمنون دارد. در بخش میانی کانسار، روانه‌های گدازه و توف‌های بلورین با ترکیب رویولیت، داسیت و رویداسیت با توپوگرافی تپه ماهوری و رنگ خاکستری تا سبز روشن رخمنون دارد. در بخش شمالی کانسار، واحدهای آتشفشاری-رسوی متشکل از توف فلیسیک دگرسان شده و سبز رنگ، سنگ‌آهک متوسط تا ضخیم لایه تیره، شیل و سنگ‌آهک دولومیتی ضخیم‌لایه رخمنون دارند. توف سبز دارای عدسی‌های کوچک غنی از کانی‌های آهن-منگنز می‌باشد. توده‌های نفوذی در مرکز و باخته کانسار ترکیب گرانودیبوریت و میکروگرانیت دارند. بافت این واحدها پورفیری و زمینه آنها میکروگردنولار تا هتروگردنولار است. فراوان‌ترین کانی در این سنگ‌ها کوارتز، پلاژیوکلاز با ترکیب آندزین-اولیگوکلاز و آلالکی فلدسپار می‌باشد که عموماً به سریسیت و کلریت تجزیه شده است. در شمال‌خاور و شمال‌باخته کانسار گزستان، آپوفیزهایی از گابرو-مونزودیبوریت درون سنگ‌های آتشفشاری-رسوی نفوذ کرده است. در این سنگ‌ها، پلاژیوکلاز و کلینوپیروکسن کانی‌های اصلی، آپاتیت، کانی‌های کدر، کانی‌های فرعی و اپیدوت، کلریت، آمفیبول، سریسیت کانی‌های ثانوی هستند. همه واحدهای سنگی و پهنه‌های کانی سازی توسط دایک‌های دلیری قطع شده است (سپهری راد و همکاران، ۱۳۹۷).

کانسار مگنتیت-آپاتیت گزستان، یکی از کانسارهای آهن در منطقه معدنی بافق در کمریند ساختاری کاشمر-کرمان (Ramezani and Tucker, 2003) یا بلوک (Ramezani and Tucker, 2003) یا پشت بادام (Haghipour, 1977) در خرد قاره ایران مرکزی است (شکل ۱). واحدهای سنگی قبل از نتوزن در منطقه بافق، به سه پهنه ساختاری-سنگی شرقی، مرکزی و غربی تقسیم شده است (Ramezani and Tucker, 2003). کانسار گزستان در جنوب پهنه شرقی واقع شده است (شکل ۲). واحدهای سنگ چینه‌ای، در پهنه شرقی شامل کمپلکس بنه شورو، سازند تاشک و سری رحمت آباد به سبک نثپر و تزویزیک، واحد آتشفشاری-رسوی کامبرین زیرین (CVSU)، سازندهای لالون و میلا و کمپلکس سرکوه به سبک کامبرین میانی و بالایی و سنگ‌های پوشاننده اوردوسین تا نتوزن و توده‌های نفوذی مافیک تا فلیسیک است (شکل ۱). واحد آتشفشاری-رسوی کامبرین (CVSU) متشکل از توالی بین لایه‌ای سنگ‌های آتشفشاری و آتشفشاری-رسوی فلیسیک (توف، توف‌های جریانی جوش خورده)، کمی گدازه و نفوذی‌های گندی شکل، بازالت‌های اسپیلیتی محلی، شیل‌های توفی ریزدانه و دولومیت-سنگ‌آهک دولومیتی، به طور محلی همراه با میان‌لایه‌های تبخیری است (Daliran et al., 2010). این واحد که میزبان اصلی کانسارهای آهن-آپاتیت، آهن-منگنز و نیز روی-سرب در ناحیه بافق است، بیشتر در پهنه ساختاری-سنگی شرقی و اندکی در پهنه مرکزی رخمنون دارد (Ramezani and Tucker, 2003) (شکل ۱). در پهنه ساختاری-سنگی شرقی، توده‌های نفوذی در کمپلکس بنه شورو، سازند تاشک و CVSU تزریق شده‌اند (شکل ۲). بزرگ‌ترین توف نفوذی رخمنون یافته در این پهنه، گرانیت‌ید زریگان با ترکیب متغیر از تونالیت تا ترونجهیت است (Ramezani and Tucker, 2003). توده گرانیتی نیمه-عمیق ناریگان در ۲۰ کیلومتری غرب-شمال غرب کانسار گزستان در واحد CVSU نفوذ کرده است. هم‌چنین در ۱۲ کیلومتری شمال شرقی کانسار گزستان، مجموعه‌ای از توده‌های گرانیتی کم عمق همیجان، فردوس و گندی رویلیتی کوه‌سیاه، درون واحد CVSU نفوذ کرده است (محمدی و همکاران، ۱۳۹۴).



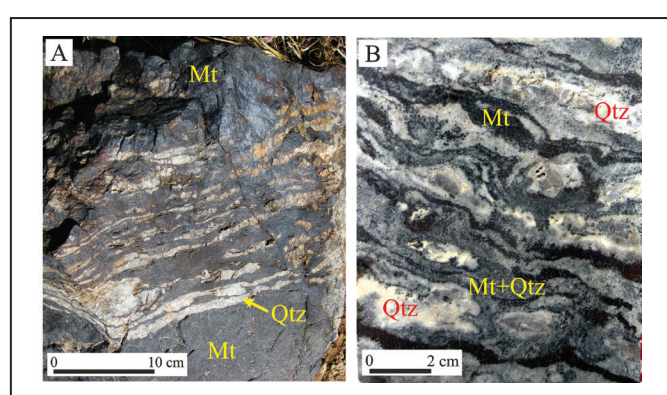
شکل ۲- نقشه زمین‌شناسی ناحیه بافق واقع در کمرنگ کاشمر-کرمان (ساده شده از سهیلی و مهدوی، ۱۳۷۰؛ مهدوی، ۱۳۷۵؛ امینی و همکاران، ۱۳۸۳؛ قائمی و سعیدی، ۱۳۸۵؛ مجیدی و باباخانی، ۱۳۷۲ و (Ramezani and Tucker, 2003

۴- فرم‌های کانی‌سازی آپاتیت و کانی‌های عناصر نادر خاکی در کانسار گزستان

می‌باشد. کانسنگ چینه‌سان، به شکل لایه‌های ژاسپیلت به ضخامت ۱ متر و طول بیشینه ۵۰ متر و موازی لایه‌بندی سنگ میزبان توف فلزیک در شمال و جنوب کانسار رخ‌نمون دارد و از تناوب مگنتیت و نوارهای نازک و عدسی شکل کوارتز تشکیل شده است (شکل‌های A-۳ و B) این نوع کانسنگ فاقد آپاتیت است.

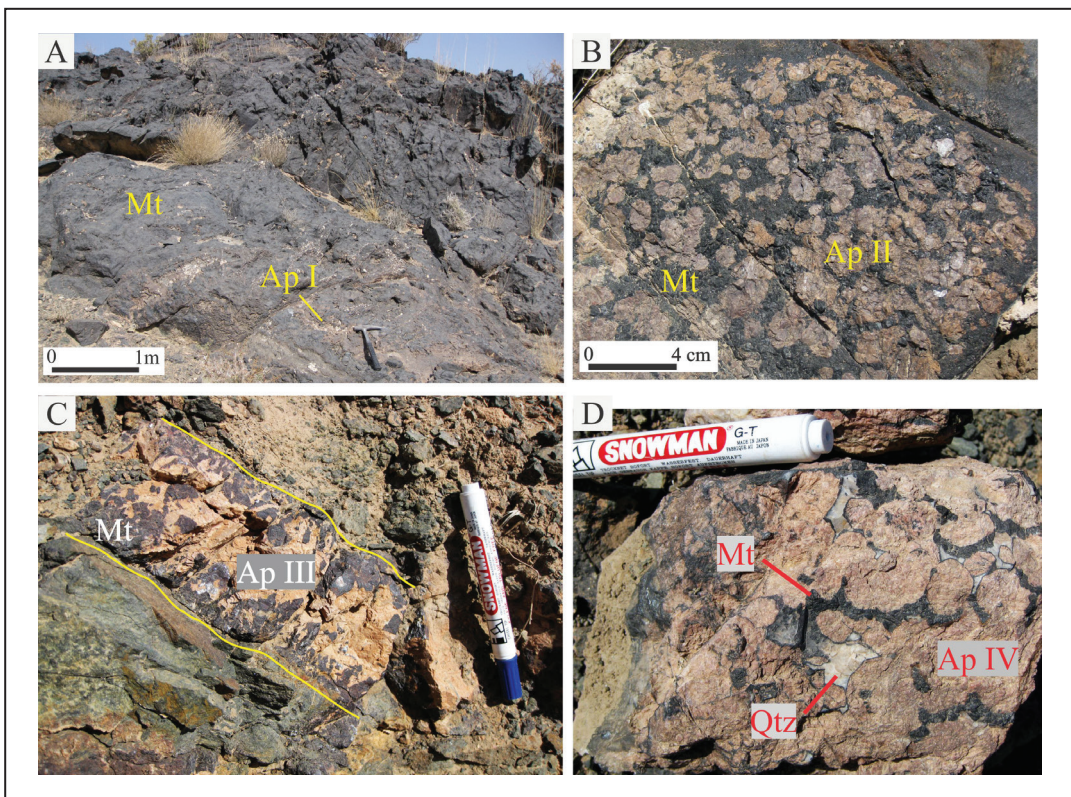
در کانسار گزستان، کانسنگ شامل مگنتیت و آپاتیت است و به شکل‌های چینه‌سان تا عدسی شکل و کیسه‌ای همیشگی با سنگ‌های میزبان، توده‌های رگه مانند متقاطع نسبت به سنگ‌های میزبان و نیز افshan و برشی رخ داده است. تنوع فرم و هندسه توده‌های کانسنگ، نشان دهنده پیچیدگی فرایندهای کانی‌سازی در این کانسار

شکل ۳- (A) رخ‌نمون ژاسپیلت در جنوب کانسار گزستان، (B) بُرش مغزه حفاری از ژاسپیلت شامل نوارهای متناوب، نامنظم و موجی شکل مگنتیت، کوارتز و مگنتیت-کوارتز (Mt; Magnetite, Qtz; Quartz)



Ap II معروفی شده است. در این نوع کانسنگ، آپاتیت در اندازه‌های ریز تا متوسط و شکل‌های انهرال تا ساب‌هدral و با گوشه‌های گرد شده دیده می‌شود (شکل ۴-۲). آپاتیت در کانسنگ مگنتیت-آپاتیت با بافت شانه‌ای (Ap III): کانی سازی اصلی در کانسار گزستان، از نوع مگنتیت-آپاتیت است که به شکل‌های رگه‌ای و داربستی، در ابعاد مختلف تشکیل شده است و بافت شانه‌ای دارد (شکل ۴-۳). فراوانی آپاتیت در این نوع کانسنگ از ۱۰ تا ۶۰ درصد وزنی متغیر است. مقداری کلسیت، کوارتز و پپریت (۵٪ ۲۰ درصد وزنی) این نوع کانی سازی را همراهی می‌کند. ۳- رگه‌ها و زون‌های غنی از آپاتیت یا آپاتیت (Ap IV): این کانسنگ از آپاتیت‌های درشت بلور با بافت پگماتوئیدی، به رنگ صورتی و به شکل‌های یوهدرال-ساب‌هدral تشکیل شده است و با کمی مگنتیت، کوارتز و کلسیت همراه است. این نوع کانسنگ عمدتاً در بخش غربی کانسار رخمنون دارد (شکل ۴-۴). رنگ صورتی آپاتیت‌ها در کانسار گزستان، به دلیل وجود میان‌بارهای میکروسکوپی جامد (مانند اکسیدهای آهن) و سیال در امتداد کلیواژها و شکستگی‌های این کانی است (Daliran et al., 2010).

آپاتیت کانی اصلی میزان عنصر نادر خاکی در کانسار گزستان است. بر اساس مطالعات صحرایی، لاغ مغزه‌های حفاری، کانه‌نگاری میکروسکوپی، تصاویر BSE و آنالیز نقطه‌ای (EPMA)، انواع آپاتیت از نظر بافت تودهای عبارتند از: ۱- آپاتیت همراه با کانسنگ مگنتیت با بافت تودهای (Ap I): در این کانسنگ، که بافت تودهای دارد، مگنتیت کانی غالب است و آپاتیت به شکل‌های یوهدرال-ساب‌هدral ریز بلور و گاهی تخته‌ای شکل مگنتیت را همراهی می‌کند (شکل ۴-۴). فراوانی آپاتیت در این نوع کانسنگ تا ۱۰ درصد وزنی می‌رسد. این کانسنگ در ابعاد مختلف و به شکل تودهای رگه‌ای و عدسی نامنظم و متقطع تا همثیب نسبت به سنگ‌های میزان تشکیل شده است. بزرگترین رخمنون این کانسنگ، در بخش مرکزی کانسار گزستان، به طول ۱۵۵ متر و ضخامت ۱۶ تا ۴۰ متر است. اگرچه تفاوت بافتی و کانی‌شناسی در بخش‌های مختلف این نوع کانسنگ وجود ندارد، اما در حاشیه تودهای کانسنگ، فراوانی نسبی آپاتیت افزایش یافته است و تا ۸۰ درصد وزنی می‌رسد (شکل ۴-۴-B). آپاتیت‌های موجود در بخش کناری تودهای آهن با عنوان



شکل ۴- انواع آپاتیت در کانسار گزستان؛ (A) کانسنگ مگنتیت با بافت تودهای، دارای بلورها و دستجات بلور پراکنده آپاتیت ساب‌هدral تا انهرال (Ap I)، (B) تجمع بلورهای ساب‌هدral آپاتیت (Ap II) در حاشیه کانسنگ مگنتیت تودهای، (C) کانسنگ مگنتیت-آپاتیت-کوارتز با بافت شانه‌ای که باشد بلورهای کشیده آپاتیت از دو دیواره به سوی مرکز مشخص می‌شود (Ap III)، (D) بخشی از رگه آپاتیت شامل بلورهای درشت آپاتیت با بافت پگماتوئیدی (Ap IV) که در آن مگنتیت به شکل نوارهایی همراه با کوارتز و کلسیت، فضای باقی مانده بین بلورهای آپاتیت را پر کرده است. (Ap؛ آپاتیت، Mt؛ مگنتیت، Qtz؛ کوارتز) (نشانه‌های اختصاری از Whitney and Evans, 2010) اقتباس شده است.

۵- روش بیووهش

این مطالعه بر مشاهدات میدانی، برداشت‌های زمین‌شناسی سطحی و لاغ مغزه‌های حفاری استوار است. تهیه تصاویر میکروسکوپ الکترونی روبشی (SEM) و آنالیز نقطه‌ای (EPMA) بر روی نمونه‌های معرف از آپاتیت‌های نوع I, II, III, IV با استفاده از دستگاه CAMECA SX-100 با ولتاژ ۱۵ kV، جریان ۲۰ nA و شعاع پرتو $3 \mu\text{m}$ در مرکز تحقیقات فرآوری مواد معدنی ایران، انجام شد (جدول ۱). آنالیزها با استفاده از استانداردهای طبیعی و مصنوعی شامل اکسیدهای ساده یا کانی‌ها کالیبره گردید.

همچنین از داده‌های منتشر شده‌ی حافظیان و جمالی (۱۳۹۴) و (2011) از کانسنگ‌های گزستان و کانسارهای مگنتیت-آپاتیت ناحیه بافت استفاده شده است.

۶- ژئوشیمی آپاتیت

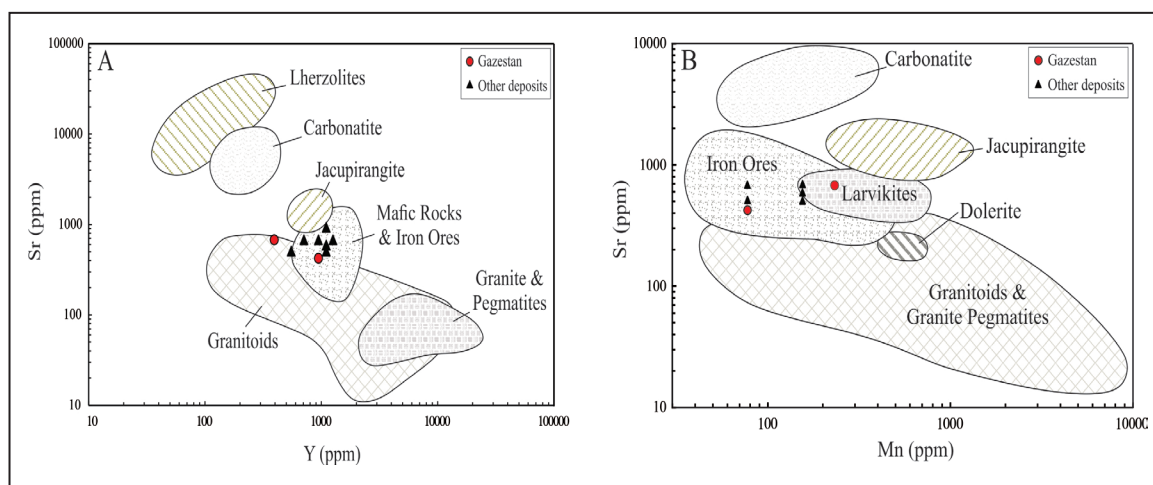
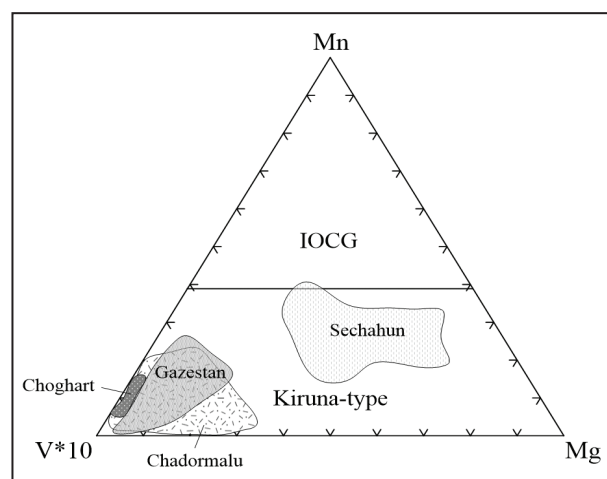
ترکیب شیمیایی و بافت آپاتیت‌ها نشان‌دهنده رفتار و توزیع مواد فرار و عناصر کمیاب، بین آپاتیت، مدادها و سیال‌های آبگین است

می‌رسد (سپهری راد و همکاران، ۱۳۸۷). همچنین آپاتیت‌ها غنی از عناصر نادر خاکی سبک (LREEs) درصد وزنی در کانسار چاه گر تا ۱/۸ درصد وزنی در کانسارهای میشدوان و زریگان) هستند (Stosch et al., 2011).

بر اساس آنالیز نقطه‌ای، مقدار Mg, Mn, V در آپاتیت‌های کانسار گرستان، به ترتیب ۵۷۰، ۲۴۵ و ۷۸۴ پی‌پی ام است. کانسارهای گرستان، چغارت، چادرملو و سه‌چاهون با داشتن مقدار Mn پائین، همگی در محدوده کانسارهای تیپ کایرونا فوار می‌گیرند (شکل ۵). دامنه تغییرات شیمی آپاتیت در کانسارهای تیپ کایرونا محدودتر از کانسارهای IOCG است (Mao et al., 2016). آپاتیت در کانسارهای تیپ IOCG حاوی Mn بیشتر و LREEs, Na, Si, S کمتری نسبت به آپاتیت در کانسارهای تیپ کایرونا است (Belousova et al., 2002). مقدار Sr و انواع کانی‌سازی قابل تفکیک است (Bonyadi et al., 2011; Heidarian et al., 2018) و Mn در آپاتیت گرستان (به ترتیب) ۶۷۶–۴۲۳ ppm، ۶۷۶–۳۹۴ ppm، ۲۳۱–۷۷ ppm و در کانسارهای چغارت، زریگان، اسفورده، لکه‌سیاه، میشدوان (به ترتیب) ۱۲۶۰–۵۵۱ ppm، ۹۳۰–۵۰۷ ppm، ۲۳۳–۷۷ ppm اندازه‌گیری شده است (Stosch et al., 2011). بر اساس نمودارهای Sr در برابر Y (شکل ۶) و Sr در برابر Mn (شکل ۶)، کانسار گرستان و دیگر کانسارهای ناحیه بافق، آهن تیپ کایرونا واضح از کربناتیت‌ها، در محدوده سنگ‌های مافیک و کانسارهای چغارت و چادرملو (Heidarian et al., 2017) و >2500 ppm (Belousova et al., 2002) از آپاتیت‌های کانسارهای آهن تیپ کایرونا متمایز می‌شود.

شکل ۵- نمودار مثلثی Mn-V-Mg (ppm) برای تفکیک کانسارهای IOCG و کایرونا (Mao et al., 2016) و جایگاه کانسارهای گرستان و سه‌چاهون (Bonyadi et al., 2011) چغارت و چادرملو (Heidarian et al., 2017).

دامنه تغییرات اکسیدهای عناصر نادر خاکی (Webster and Piccoli, 2015) در کانسنگ مگنتیت-آپاتیت گرستان، ۰/۰۱ تا ۰/۲۵ درصد و در آپاتیت‌ها ۰/۶ تا ۱/۹۸ درصد وزنی است (حافظیان و جمالی، ۱۳۹۴؛ Kryvdik and Mykhaylov, 2001; Stosch et al., 2011) همچنین در آپاتیت‌ها، مقدار F ۴/۰۹ درصد وزنی و Cl ۰/۰۳ درصد وزنی است (Kryvdik and Mykhaylov (2001) Stosch et al., 2011) آپاتیت‌های این کانسار را ۲/۳۴ تا ۲/۵ درصد وزنی و مقدار Cl ۰/۰۷ تا ۰/۰۸ درصد وزنی گزارش کرده‌اند. بنابراین آپاتیت‌های کانسار گرستان، از نوع فلوئورآپاتیت هستند. آپاتیت در کانسارهای مگنتیت-آپاتیت ناحیه بافق، نیز غنی از F و فقیر از Cl است و میانگین F و Cl آن به ترتیب ۳/۹ و ۰/۶ درصد وزنی است (Daliran, 2002; Moore and Modabberi, 2003; Torab and Lehman, 2007;) دگرسانی آپاتیت‌های اولیه باعث تغییر در فراوانی برخی عناصر مانند Cl در REE, Si, Na, S, Cl بخش‌های دگرسان شده می‌شود. Harlov et al. (2005) نشان دادند که در تصاویر BSE مشاهده می‌شوند. در آپاتیت گرستان، مقدار Si و Na به ترتیب از ۰/۳ و ۰/۴ درصد در آپاتیت‌های دگرسان شده (روشن) به ۰/۱۳ و ۰/۰ درصد در آپاتیت‌های دگرسان شده (تیره) کاهش یافته است (۱). در کانسار گرستان، مقدار LREEs در آپاتیت‌های شده، کمتر از آپاتیت‌های روشن است که نشان دهنده دگرسانی آپاتیت‌ها، شستشوی عناصر LREE، شکل گیری آپاتیت‌های تیره و میان‌بارهای موتازیت می‌باشد. مجموع عناصر نادر خاکی ($\text{Y}_2\text{O}_3+\text{REE}_2\text{O}_3$) در آپاتیت این کانسار، بالا و به ۴/۵ درصد



شکل ۶- موقعیت آپاتیت‌های کانسار گرستان و چند کانسار ناحیه بافق در نمودارهای تغییرات Sr در برابر Y (A) و Sr در برابر Mn (B) (Belousova et al., 2002).

جدول ۱- نتایج آنالیز نقطه‌ای (EPMA) عناصر اصلی در انواع آپاتیت در کانسار گزستان

Sample	46-5	46-34			46-35.5		73-357	4-13			11-40						
Apatite Type	Ap III	Ap I			Ap IV		Ap III	Ap I			Ap III						
Na₂O	0.29	0.02	1.1	1.84	0.31	0.04	0.41	0.33	0.02	0.02	0.71	0.26	0.01	0.3	0.6	0.46	0.28
K₂O	0.03	<0.01	0.02	<0.01	<0.01	<0.01	0.01	<0.01	<0.01	0.01	0.01	<0.01	<0.01	<0.01	0.01	<0.01	0.01
MgO	0.07	<0.01	<0.01	0.01	0.02	<0.01	0.01	0.03	<0.01	0.01	0.03	<0.01	<0.01	0.28	<0.01	0.13	0.47
CaO	54.9	55.55	55.26	53.93	53.57	56.65	54.63	53.63	54.3	54.96	51.03	53.14	55.18	53.2	53.35	53.8	53.54
P₂O₅	41.53	41.83	40.95	41.73	41.76	40.94	41.49	41.84	42.38	42.03	42.76	42.39	42.26	43.54	42.24	42.79	42.75
MnO	0.03	0.02	0.01	0.03	0.03	0.01	0.02	0.01	0.03	0.01	0.02	0.02	0.01	0.02	0.01	0.02	0.02
FeO	0.86	0.09	0.27	0.15	0.08	0.38	0.06	0.09	0.02	0.21	0.32	0.15	0.12	0.11	0.12	0.14	0.31
Al₂O₃	0.08	0.01	0.01	0.04	0.01	0.01	0.02	<0.01	0.01	<0.01	0.02	<0.01	0.01	<0.01	<0.01	<0.01	<0.01
SiO₂	0.24	0.34	0.27	0.67	0.69	0.22	0.2	0.73	0.28	0.21	0.64	0.64	0.07	0.55	0.69	0.67	0.59
total	98.03	97.86	97.89	98.4	96.47	98.25	96.85	96.66	97.04	97.46	95.54	96.6	97.66	98	97.02	98.01	97.97

۷- دگرسانی آپاتیت

این آپاتیتها به گونه‌ای است که نوعی نواربندی پدید آمده است (شکل ۷). نفوذ سیال‌های تأخیری همراه با برشی شدن و تشکیل رگچه‌های کلسیت و کوارتز، با تجزیه محلی آپاتیت و شستشوی عناصر نادر خاکی و تشکیل کانی‌های این عناصر (Mnz II) در رگچه‌های موئین کلسیت و کوارتز همراه بوده است (شکل‌های ۷ و C و D). دگرسانی آپاتیت‌های تیره، توسط سیال‌های کربناتی، با تشکیل حاشیه‌های واکنشی آپاتیت-کلسیت، شستشوی آپاتیت‌های تیره و تشکیل مونازیت و آلانیت در حاشیه‌های واکنشی همراه است (شکل‌های A-۸ و B).

۸- ارتباط آپاتیت و مونازیت

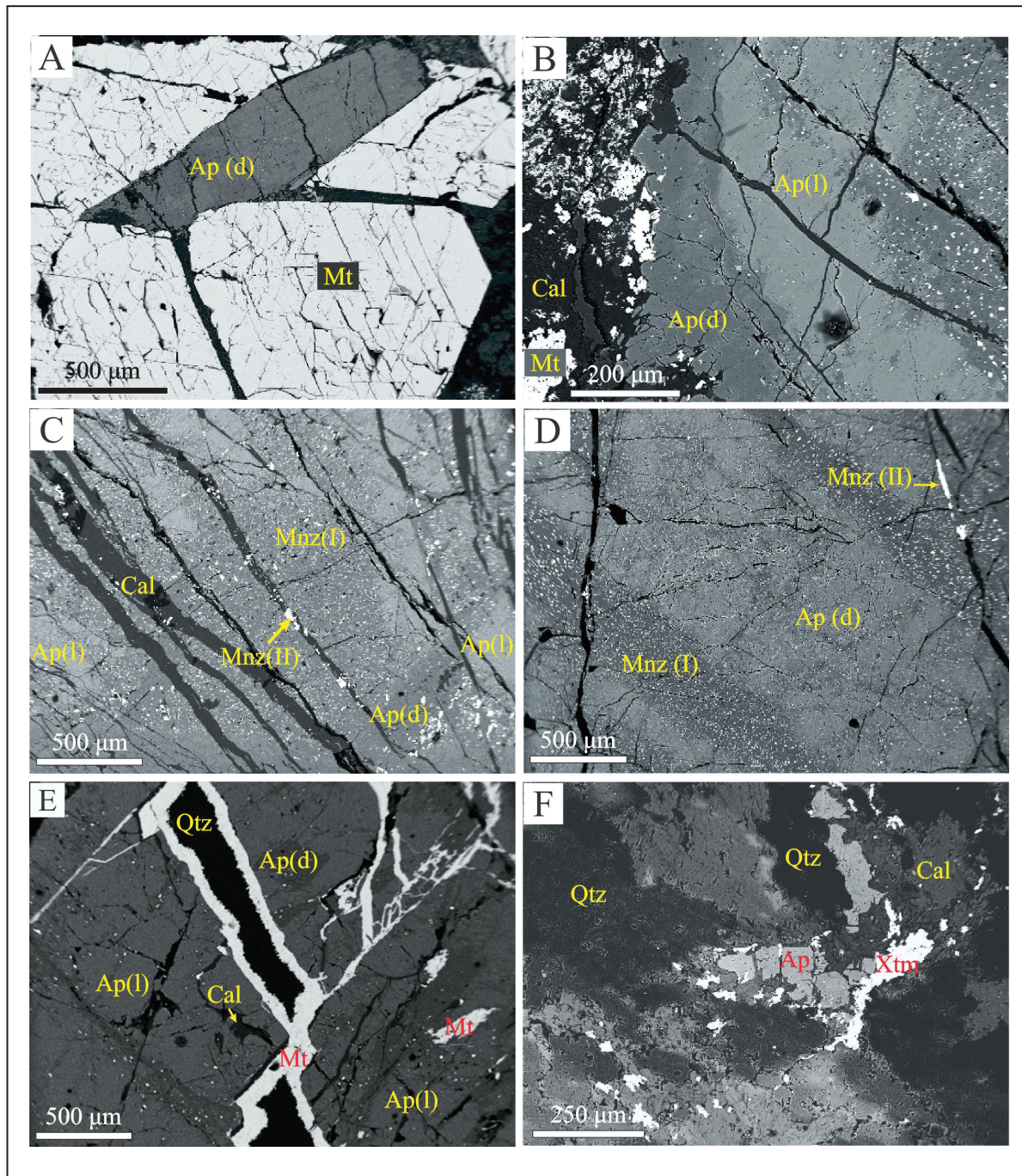
بر اساس داده‌های EPMA و SEM-BSE از انواع آپاتیت در کانسار گزستان، دگرسانی آپاتیت‌های اولیه با تشکیل زون‌های آپاتیت تیره و روشن و میان‌بارهای مونازیت و زینوتیم به شکل دانه‌های پراکنده و پرکننده ترک‌های موئین در آپاتیت‌های تیره همراه بوده است. زون‌های آپاتیت روشن و تیره، مانند آنچه که در گزستان وجود دارد، از کانسارهای سه‌چاهون، چغارات، اسفوردی، چادرملو و لکه سیاه نیز گزارش شده است (Jami, 2005; Bonyadi et al., 2011; Taghipour, 2015; Rahimi et al., 2016; Heidarian et al., 2017). همچنین در منطقه سه‌چاهون، مونازیت، زینوتیم و بادلیت به عنوان کانی‌های فرعی در آلتیت (سنگ شبه-سینیت) تشکیل شده‌اند (Daliran et al., 2010). در کانسارهای چغارات، اسفوردی، سه‌چاهون و چادرملو، بخش‌های روشن آپاتیت‌ها نسبت به (Y+REE) غنی و بخش‌های تیره، از این عناصر تهی شده‌اند. همچنین بخش‌های تیره به نسبت غنی از فلورئور هستند (Bonyadi et al., 2011; Taghipour, 2015; Heidarian et al., 2018). مطالعات آزمایشگاهی، تشکیل میان‌بارهای مونازیت و زینوتیم را در نتیجه انجلال-ته نشینی همگام توسط یک

دگرسانی در کانسار گزستان، شامل کلریت، سریسیت، فلدسپار پتانسیم، بیوتیت، آلتیت، کلسیت، کوارتز، تورمالین و اپیدوت است و فراوان ترین و گسترده‌ترین دگرسانی‌ها شامل دگرسانی‌های کلریت و سریسیت می‌باشد. در این کانسار، دگرسانی‌های سدیک گسترش چندانی ندارد. با توجه به نبود دگرسانی کلسیمی-آهنی، ممکن است دگرسانی سدیک در اثر برنقشی دگرسانی‌های پتانسیک و کلریت از بین رفته باشد (سپهری راد و همکاران, ۱۳۹۷). در این کانسار دگرسانی پتانسیک قبل از دگرسانی کلریتی رخ داده است که این با کلریتی شدن بیوتیت‌های ثانوی تایید می‌شود. مرحل اولیه کانی‌سازی در کانسار گزستان با دگرسانی پتانسیک همراه است. همزمان و یا کمی قبل از دگرسانی کلریتی مرحله اصلی کانی‌سازی مگنتیت-آپاتیت انجام شده و مجموعه مگنتیت، آپاتیت، کلریت، کوارتز و کلسیت تشکیل شده است. دگرسانی‌های تأخیری شامل سیلیسی شدن و کربناتی شدن می‌باشد. دگرسانی سیلیسی به صورت رگچه‌ای-رگه‌ای و پرکننده حفرات همراه با مگنتیت، کلریت، پپریت و سریسیت می‌باشد. دگرسانی کربناتی به صورت رگه-رگچه‌ای است و شامل کلسیت و کمی سیدریت است و معمولاً همراه با کلریت و کوارتز، مگنتیت و پپریت تشکیل شده است (سپهری راد و همکاران, ۱۳۹۷).

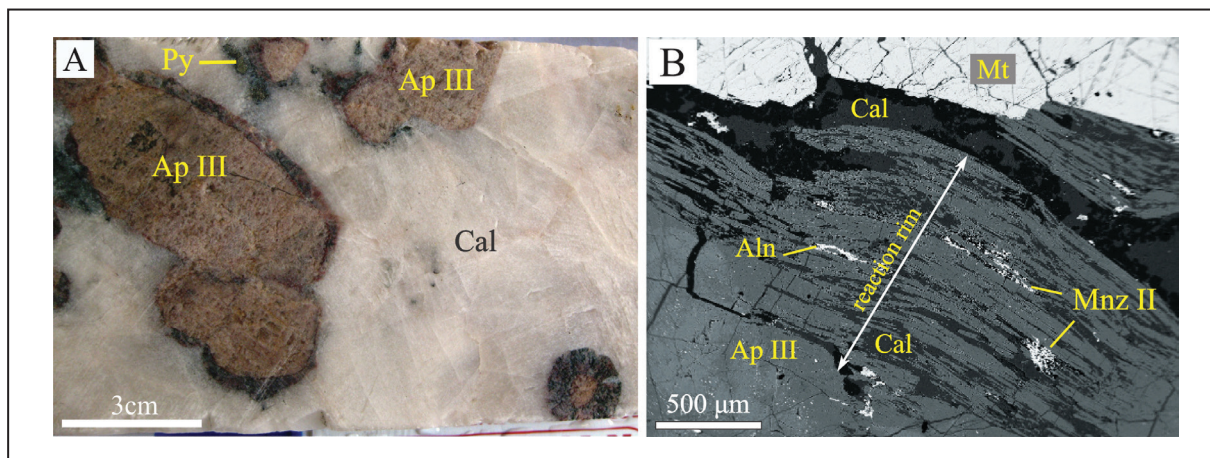
بر اساس تصاویر BSE و آنالیز نقطه‌ای (EPMA)، دگرسانی آپاتیت باعث تبدیل آپاتیت روشن به تیره و تشکیل میان‌بارهای کانی‌های REEs، در زون‌های تیره شده است. این میان‌بارهای کانی‌های مونازیت، زینوتیم و آلانیت هستند. آلانیت از کانی‌های REE دار گروه اپیدوت است که در آن Ca با اتم‌های نادر خاکی (Ce³⁺, La³⁺, Y³⁺) جانشین شده است (Deer et al., 2013). آپاتیت نوع Ap I (Ce³⁺, La³⁺, Y³⁺) فقری از این میان‌بارهای است که دلیل آن می‌تواند غاظت کم عناصر نادر خاکی باشد (شکل ۸) اما در دیگر آپاتیت‌ها (Ap III, Ap II و Ap IV) این میان‌بارهای به فراوانی تشکیل شده‌اند (شکل‌های ۷- B تا F). توزیع میان‌بارهای در بخش‌هایی از

Apatite (1) + $(Ca^{2+}, P^{5+})_{in\ fluid}$ = apatite (2) + monazite and xenotime
که در آن آپاتیت (1) نسبت به آپاتیت (2)، از
Y+REE, Na, Si غنی شدگی دارد.

فاز سیال اثبات کرده است (Harlov and Förster, 2003; Harlov et al., 2005; Putnis, 2009; Putnis and Austrheim, 2012). هسته‌بندی مونازیت و زینوتیم (Pan et al., 1993) را طبق واکنش عمومی انتقال جرم زیر می‌توان نشان داد



شکل ۷- تصاویر از آپاتیت و کانی‌های عناصر نادر خاکی در کانسرا گرستان؛ (A) کانسنگ مگنتیت دارای آپاتیت تیره با میانبارهای ریز و پراکنده از کانی‌های REEs؛ (B) کانسنگ آپاتیت-مگنتیت؛ دگرسانی آپاتیت و تشکیل زون‌های آپاتیت روش و تیره، همراه با کانی‌های فراوان و ریز مونازیت و زینوتیم (نقاط کوچک درخشان) در بخش تیره؛ (C) برشی شدن و دگرسانی آپاتیت همراه با دانه‌های فراوان و ریز مونازیت و زینوتیم (Mnz I) (نقاط کوچک درخشان در بخش تیره)، تشکیل رگجه‌های ظریف و کمابیش موازی کلسیت و کانی‌های REEs (Mnz II) (D) دگرسانی آپاتیت و تشکیل زون‌های غنی از مونازیت در بخش‌های تیره؛ (E) کانسنگ آپاتیت با بافت پگماتوئیدی و همراهی کانی‌های REEs با آپاتیت تیره، (F) کانسنگ آپاتیت-کلسیت-کوارتز با کانی‌سازی زینوتیم در حاشیه آپاتیت برشی شده (Ap (l): آپاتیت روش، Ap(d): آپاتیت تیره، Mnz: مونازیت، Aln: آلانیت، Qtz: زینوتیم، Xtm: کوارتز، Cal: کلسیت، Mt: مگنتیت)



شکل ۸-۸) دگرسانی آپاتیت در کانسنگ مگنتیت-آپاتیت و تشکیل حاشیه واکنشی (نوارهای تیره در اطراف بلورهای آپاتیت)، (B) تصویر BSE از کانسنگ مگنتیت-آپاتیت که نمایانگر کانی‌شناسی حاشیه واکنشی است (Ap: آپاتیت؛ Py: پیریت؛ Aln: مونازیت، Al: آلانیت، Cal: کلسیت، Mt: مگنتیت)

معمولًاً کمتر از ۱ درصد و در مونازیت‌های آذرین ۳ تا بیش از ۵ درصد است (Schandl and Gorton, 2004). بر این اساس، میان‌بارهای مونازیت در کانسار گرستان و دیگر کانسارهای مگنتیت-آپاتیت ناحیه بافق، احتمالاً در شرایط گرمابی تشکیل شده‌اند.

۱۰-بحث

در کانسارهای مگنتیت-آپاتیت ناحیه بافق، آپاتیت‌ها غنی از فلورور و فقیر از کلر هستند (Stosch et al., 2011). آپاتیت در سنگ‌های آذرین فلزیک و حدواسط نیز چنین ویژگی دارد. در این سنگ‌ها، نسبت OH، F و Cl در آپاتیت، به ترتیب ۱۰۰-۵۰، ۵۰-۰ درصد و کمتر از ۲۰ درصد است و بیشترین مقدار جانشینی، بین F و OH، به دلیل شعاع یونی نسبتاً مشابه انجام می‌شود (Piccoli and Candela, 2002). در آپاتیت‌ها، OH، CO₃²⁻، F، Cl و CO₃²⁻ می‌توانند به طور گسترده (نه به طور کامل) جانشین یکدیگر شوند و نسبت آنها به سه عامل ترکیب مذاب/سیال، حضور کانی‌های F و Cl دار مانند بیوتیت، موسکوویت، آمفیبول، اسکاپولیت و شرایط دما-فشار بستگی دارد (Zhu and Sverjensky, 1991). علت تشکیل آپاتیت‌های غنی از F در محیط‌های گرمابی، علی‌رغم فعالیت خلی زیاد Cl نسبت به F در سیال، آن است که برای تشکیل آپاتیت غنی از F (X_F>0.9) به فعالیت کم فلورور در فاز سیال نیاز است (a_{HF}/a_{H2O}<10⁻⁴)، غلظت Cl در آپاتیت خلی کم خواهد بود (X_{Cl}<0.1) (Zhu and Sverjensky, 1991). تغییر در منبع مذاب/سیال، درجه تفکیک، تاریخچه تبلور، مجموعه کانی‌های همزیست، انواع دگرسانی و شرایط احیایی، باعث تغییرات بزرگ در محتوای عناصر کمیاب در آپاتیت‌ها می‌شود (Mao et al., 2016). ترکیب ژئوشیمیایی آپاتیت در کانسارهای تیپ کایرونا و کانسارهای تیپ IOCG تفاوت‌های اساسی دارد. آپاتیت در کانسارهای تیپ کایرونا غنی از F و LREEs است، در صورتی که در کانسارهای IOCG، غنی از Cl است و نسبت به LREEs نهی شدگی نشان می‌دهد (Edfelt et al., 2007). این تفاوت در شیمی آپاتیت از آنجا ناشی می‌شود که کانسارهای IOCG با pH پایین تشکیل می‌شوند که این امر سبب ورود بیشتر Cl به آپاتیت می‌شود. در برخی از کانسارهای IOCG که شواهد متاسوماتیزم و دگرگونی وجود ندارد، تهی شدگی آپاتیت‌ها نسبت به LREE را می‌توان به ترکیب اولیه آپاتیت نسبت

۹-طیعت سیال

یکی از عوامل کنترل کننده حلایت گرمابی REE، در دسترس بودن و غلظت لیگاندها برای تشکیل کمپلکس‌های آبگین پایدار است (Migdisov et al. 2016) در سیال‌های گرمابی، کلرید و سولفات بینان‌های اصلی انتقال دهنده REEs و فلورورید، کربنات و فسفات، بینان‌های عمدۀ تثیت یا ته نشست این عناصر هستند (Migdisov et al., 2016). تشکیل میان‌بارهای مونازیت و زینوتیم به شدت به واکنش پذیری آپاتیت با سیال و فراوانی (Y+REEs) در آپاتیت بستگی دارد (Harlov et al., 2005). علاوه بر اسیدهای HCl و H₂SO₄ H₂O+CO₂ خالص، KCl و شورابه‌های H₂O (Harlov et al., 2005) میان‌بارهای مونازیت و زینوتیم را افزایش می‌دهند، اما سیال‌هایی مانند شورابه‌های Harlov and Forster, 2003 و NaCl و CaCl₂ و NaCl و LREEs در شورابه‌های NaCl، با افزایش XNaCl در درجه حرارت و فشار و به دلیل تشکیل کمپلکس‌های قوی REE با Cl⁻ و Hass et al., 1995، Harlov et al., 2006) افزایش می‌یابد (، احتمالاً با PO₄³⁻ و F⁻، افزایش می‌یابد (Antignano and Manning, 2008). در کانسارهای چادرملو، سه چاهون و اسفوردی، سیال‌هایی که با آپاتیت‌ها برهم کنش داشته‌اند، غنی از KCl و CO₂ بوده‌اند (Taghipour et al., 2015; Heidarian et al., 2018) در صورتی که آپاتیت‌های فقیر از میان‌بار در کانسار چغارت توسط سیال‌های غنی از NaCl دگرسان شده‌اند (Taghipour et al., 2015) (Daliran et al., 2010). بر اساس (Taghipour et al., 2015) در منطقه بافق، آپاتیت‌های تشکیل شده در مراحل اولیه کانی‌سازی، دارای میان‌بارهای مونازیت هستند. سیال‌های مرتبه با مراحل تأخیری کانی‌سازی، حاوی CO₂ و HREEs بوده و باعث تشکیل کوارتز و کلسیت فراوان، مقداری فرعی تا کمیاب مونازیت، آپاتیت، آلانیت غنی از LREEs و کانی‌های HREEs دار شامل فلورورکربنات‌های bastnaesite و syncheysite و HREEs (Daliran et al., 2010) می‌باشد. مونازیت Y (زینوتیم) و بریولیت‌های Y-Ca شده‌اند (Daliran et al., 2010) در کانسنسنگ‌های مگنتیت-آپاتیت ناحیه بافق، دارای هسته‌های غنی از Th در کانسنسنگ‌های مگنتیت-آپاتیت ناحیه بافق، دارای هسته‌های غنی از Th_O₂ (Torab and Lehman, 2007; Stosch et al., 2011) مقدار UO₂ و ThO₂ در این مونازیت‌ها به ترتیب ۰/۹۹-۰/۰۰ و ۰/۵۹-۰/۰۲ درصد وزنی است. مقدار ThO₂ در سه نمونه مونازیت در آپاتیت‌های کانسار گرستان، بین ۰/۱۷-۰/۱۴ درصد وزنی است (Stosch et al., 2011). مونازیت‌های آذرین و گرمابی را می‌توان با استفاده از مقدار ThO₂ در مونازیت‌های گرمابی

اساس (2010) آپاتیت‌های تشکیل شده در مراحل اولیه کانی‌سازی در ناحیه بافق، عموماً میان‌بارهایی از مونازیت دارند و رشد منطقه‌بندی شده نوسانی نشان می‌دهند و یا دارای بخش‌های غنی از F، REEs و Cl هستند.

۱۱- ارتباط زمانی کانی‌سازی و دگرسانی آپاتیت

کانسارهای اکسید آهن-آپاتیت ناحیه بافق همیستگی زمانی و مکانی خیلی نزدیک با ماگماتیسم کامبرین زیرین دارند و همراه با سنگ‌های فلیسیک تشکیل شده‌اند. سن سنگ‌های فلیسیک میزان کانی‌سازی ۵۲۸ میلیون سال تعیین شده است که با سن آپاتیت‌های مرتبط با کانی‌سازی (۵۳۹-۵۲۷ میلیون سال؛ Stosch et al., 2011) و مونازیت (۵۱۵-۵۲۹ میلیون سال؛ Torab and Lehman, 2007) هم پوشانی دارد. این سن‌ها نشان می‌دهند که کانی‌سازی در بازه زمانی کوتاهی بین ۵۲۷ تا ۵۳۹ میلیون سال، حین ماگماتیسم فلیسیک و قبل از نفوذ دایک‌های دیابازی درون سنگ‌های کانی‌سازی شده، انجام شده است (Daliran et al., 2010). در نتیجه می‌توان گفت کانی‌سازی مگنتیت-آپاتیت-عناصر نادر خاکی، با ولکانیسم و متاسوماتیزم در ایران مرکزی ارتباط تنگانگی دارند. در کانسار گزستان، آپاتیت‌های تیره دارای میان‌بارهای مونازیت (\pm زینوتیم)، بعد از کانی‌سازی Fe-P و در ۱۴۰-۱۳۰ میلیون سال (بر اساس تعیین سن آپاتیت به روش U-Pb)، در نتیجه دگرسانی آپاتیت‌های مرحله اصلی کانی‌سازی تشکیل شده‌اند (Stosch et al., 2011).

۱۲- نتیجه‌گیری

در بیشتر کانسارهای مگنتیت-آپاتیت ناحیه بافق، دگرسانی گرمابی آپاتیت‌های روشن، سبب تهی شدگی آپاتیت‌ها از $(Y+REE)+Na+Si+Cl$ و ایجاد آپاتیت‌های تیره شده است. این عناصر منبع لازم برای تشکیل کانی‌های غنی از $(Y+REE)$ جدید را فراهم کرده‌اند و مونازیت، زینوتیم، آلاتیت و کانی‌های کربناته-فلوئور غنی از $(Y+REE)$ ، به شکل میان‌بار در آپاتیت‌های تیره، یا دانه‌هایی در امتداد شکستگی‌ها یا در مرز آپاتیت با کانی‌های دیگر تشکیل شده است. وجود حاشیه‌های واکنشی در بلورهای آپاتیت، تشکیل آپاتیت‌های تیره و روشن، میان‌بارهای کانی‌های REEs (مونازیت و زینوتیم) به شکل دانه‌های پراکنده و پرکننده ترک‌های موئین در آپاتیت‌های تیره و تشکیل کانی‌های REEs در مرز بلورهای آپاتیت و مگنتیت، شواهدی از دگرسانی و تحرک دوباره عناصر نادر خاکی، پس از تبلور آپاتیت‌ها در کانسار گزستان می‌باشد. میان‌بارهای مونازیت در کانسار گزستان و دیگر کانسارهای مگنتیت-آپاتیت ناحیه بافق، با مقدار ThO_2 پایین، احتمالاً در شرایط گرمابی تشکیل شده‌اند. شواهد موجود نشان می‌دهد که آپاتیت در کانسار گزستان، با سیال‌هایی برهم کش کرده و به تعادل دوباره رسیده است و تمرکز دوباره عناصر نادر خاکی در کانسار گزستان نیز در ارتباط با همین فرایند است. طی فرایند اتحال-نهشینی همگام، بلورهای آپاتیت اولیه که به هنگام تشکیل کانسنسگ آهن-آپاتیت پدید آمده‌اند، به طور بخشی با سیال برهم کش کرده‌اند که این به جابجایی یا شستشو رسوب دوباره برخی یون‌ها بويژه عناصر نادر خاکی، ایجاد زون‌های آپاتیت تیره و تشکیل دانه‌های ریز و پراکنده مونازیت و زینوتیم در زون‌های تیره و نیز در امتداد درزه‌های میکروسکوپی در آپاتیت، کلسیت و کوارتز منجر شده است.

داد (Edfelt et al., 2007) در کانسارهای IOCG روند کاهشی Cl، احتمالاً ناشی از کاهش درجه حرارت است (Edfelt et al., 2007). مقدار پائین Mn در آپاتیت، در کانسارهای تیپ کایرونا به دلیل ورود Mn در ساختمان کانی‌های همزیست اکتینولیت و مگنتیت است (Mao et al., 2016). هم‌چنین مقدار کم کایرون‌هایی مانند IOCGB در آپاتیت، در کانسارهای IOCGB به دلیل دمای نسبتاً پائین تشکیل آمده است (Mao et al., 2016). واقع شدن کانسار گزستان و دیگر کانسارهای ناحیه بافق، در محدوده سنگ‌های مافیک و کانسارهای آهن تیپ کایرونا (شکل A-۶)، به نقش احتمالی توده‌های نفوذی مافیک در زایش کانسارهای مگنتیت-آپاتیت در ناحیه بافق اشاره دارد. دامنه تغییرات مقدار Eu/Eu* در کانسارهای IOCGB گسترده‌تر از کانسارهای تیپ کایرونا (Eu/Eu*=0.3-1.5) است (Eu/Eu*=0.2-0.4) (Mao et al., 2016). آپاتیت در کانسار گزستان نسبت به Eu آنومالی منفی نشان می‌دهد (Eu/Eu*=0.13). این نسبت، به کانسارهای تیپ کایرونا نزدیک‌تر است. کانسارهای اسفوردی، سه‌چاهون، چغارات و چادرملو در ایران مرکزی نیز نسبت به Eu آنومالی منفی نشان می‌دهد (Moore and Modabberi, 2003; Jami, 2005; Bonyadi et al., 2011); (Heidarian et al., 2017) آنومالی منفی Eu یانگر فوگاسیته نسبتاً پائین اکسیژن در سیستم در حال تبلور است. در صورتی که فوگاسیته اکسیژن کمتر از پافر همایت-مگنتیت باشد، Eu²⁺ غالب خواهد بود (Sverjensky, 1984). آنومالی منفی قوی آپاتیت‌ها را می‌توان به تبلور فلدسپار پتانسیم در دگرسانی پاتاسیک نسبت داد (Mao et al., 2016). در بیشتر کانسارهای تیپ کایرونا، دگرسانی گرمابی باعث تهی شدگی آپاتیت از $(Y+REE)+Na+Si+Cl$ شده است. این عناصر منبع لازم برای تشکیل کانی‌های غنی از $(Y+REE)$ جدید را فراهم کرده‌اند و مونازیت، زینوتیم، آلاتیت و کانی‌های غنی از $(Y+REE)$ ، به شکل میان‌بار در آپاتیت یا دانه‌هایی در امتداد شکستگی‌ها و یا در مرز آپاتیت با کانی‌های دیگر تشکیل شده است (Harlov and Forster, 2003; Harlov et al., 2002b, 2005; Chen and Zhou, 2015).

بر اساس Harlov et al. (2002) دانه‌های مونازیت و زینوتیم در محدوده نسبتاً وسیعی از درجه حرارت و فشار (۹۰۰-۱۰۰ درجه سانتیگراد و ۱۰۰-۱۰۰ Mpa) تشکیل می‌شوند و این که سیال، عامل مهم تری در تشکیل این میان‌بارهای است. در رابطه با میان‌بارهای موجود در آپاتیت‌های دگرسان شده، می‌توان گفت که در شرایط برهم کنش سیال-کانی، آپاتیت‌های REE دار، نیمه پایدار هستند و نسبت به دیگر فازها حلایلت بیشتری دارند. بنابراین حتی اگر حلایلت مطلق آپاتیت خیلی پائین باشد، کمی انحلال آپاتیت سبب می‌شود تا سیال نسبت به REE به حالت فوق اشباع برسد. در این حالت، عناصر کمیاب و REEs موجود در محلول به طور جداگانه هسته‌بندی کرده و میان‌بارها تشکیل می‌شوند (Putnis and Austrheim, 2013). بر اساس Stosch et al. (2011) در کانسارهای مگنتیت-آپاتیت ایران مرکزی، REE برای تشکیل زینوتیم و مونازیت، عمدتاً از آپاتیت تأمین شده است تا از یک منبع سیال بیرونی. اندازه میان‌بارهای فسفات REEs نشان دهنده حاده زمین‌شناسی کم‌دما و تأخیری است که در آن اتحال-نهشینی، باعث شکل‌گیری فسفات‌های در شکستگی‌ها و رگه‌های داخل آپاتیت شده است (Stosch et al., 2011). بر

کتابنگاری

- امینی، ب.، روشنید، ح. و پشتکوهی، م.، ۱۳۸۳. نقشه زمین شناسی ورقه بافق، مقیاس ۱:۱۰۰۰۰، سازمان زمین شناسی و اکتشافات معدنی کشور. بنیادی، ز.، ۱۳۹۰. کانه‌زایی و دگرسانی در کانسار آهن سه چاهون، بافق، استان یزد، پایان نامه دکترا، دانشگاه خوارزمی، تهران، ۱۸۱ صفحه.
- حافظیان، گ. و جمالی، ح.، ۱۳۹۴. ژئوژیمی و خاستگاه کانسار مگنتیت-آپاتیت گرستان، شرق بافق، پترولوزی، سال ششم، شماره بیست و چهار، صفحه ۶۴-۳۹. سپهری راد، ر.، دری، م. و جمالی، ح.، ۱۳۸۷. گزارش پایان عملیات اکتشاف در کانسار گرستان، سازمان زمین شناسی و اکتشافات معدنی کشور، گزارش شماره ۴۰۴۵ صفحه.
- سپهری راد، ر.، علیرضایی، س. و عظیم زاده، ا.م.، ۱۳۹۷. دگرسانی گرمابی در کانسار آهن-آپاتیت گرستان و مقایسه آن با دیگر کانسارهای آهن ناحیه بافق، ایران مرکزی، فصلنامه علمی-پژوهشی علوم زمین، ۲۷(۱۰۸)، ۲۵۷-۲۶۸. doi: 10.22071/gsj.2017.91765.1189
- سپهیلی، م. و مهدوی، م.، ۱۳۷۰. نقشه زمین شناسی ورقه اسفورودی، مقیاس ۱:۱۰۰۰۰، سازمان زمین شناسی و اکتشافات معدنی کشور.
- قائمه‌ی، ف. و سعیدی، ا.، ۱۳۸۵. نقشه زمین شناسی ورقه چادرملو، مقیاس ۱:۱۰۰۰۰، سازمان زمین شناسی و اکتشافات معدنی کشور.
- مجیدی، ج. و باباخانی، ع.، ۱۳۷۲. نقشه زمین شناسی ورقه آریز، مقیاس ۱:۱۰۰۰۰، سازمان زمین شناسی و اکتشافات معدنی کشور.
- محمدی، ف. ابراهیمی، م. و مختاری، ع. ا.م.، ۱۳۹۴. سنگ شناسی و ژئوشیمی توده گرانیتوئیدی همیجان و سنگ‌های اسیدی همرا (جنوب باختر بهاباد، ایران مرکزی)، فصلنامه علوم زمین، سال بیست و پنجم، شماره ۹۸، ۲۲۳-۲۳۶.
- مهدوی، م.، ۱۳۷۵. نقشه زمین شناسی ورقه بهاباد، مقیاس ۱:۱۰۰۰۰، سازمان زمین شناسی و اکتشافات معدنی کشور.

References

- Antignano, A. and Manning, C. E., 2008- Fluorapatite solubility in H₂O and H₂O -NaCl at 700 to 900 °C and 0.7 to 2.0 GPa. *Chemical Geology* 251, 112–119.
- Barton, M.D., 2014- Iron Oxide (-Cu-Au-REE-P-Ag-U-Co) Systems. In: Holland H. D. and Turekian K. K., (eds.) *Treatise on Geochemistry* Oxford: Elsevier, Second Edition 13, 513–536.
- Belousova, E. A., Griffin, W.L, O'Reilly, S. Y. and Fisher, N. I., 2002- Apatite as an indicator mineral for exploration: trace-element composition and their relationship to host rock type. *J Geochem Expl.* 76: 45-69.
- Bonyadi, Z, Davidson, G. J., Mehrabi, B., Meffre, S. and Ghazban, F., 2011- Significance of apatite REE depletion and monazite inclusions in the brecciated Se-Chahun iron oxide-apatite deposit, Bafq district, Iran: Insights from paragenesis and geochemistry. *Chem. Geol.* 281: 253-269.
- Chen, W. T. and Zhou, M. F., 2015- Mineralogical and geochemical constraints on mobilization and mineralization of rare earth elements in the Lala Fe-Cu-(Mo, REE) deposit, SW China: American Journal of Science, v. 315, p. 671–711.
- Daliran, F., 2002- Kiruna-type iron oxide-apatite ores and “apatitites” of the Bafq District, Iran, with an emphasis on the REE geochemistry of their apatites. In *Hydrothermal Iron Oxide Copper-Gold and related deposits* (T.M. Porter, ed.). PGC Publishing Australia, Adelaide, Australia (303–320).
- Daliran, F., Stosch, H. G., Williams, P., Jamali, H. and Dorri, M. B., 2010- Early Cambrian Iron Oxide-Apatite-REE (U) Deposits of the Bafq District, East-Central Iran. In: Corriveau L, Mumin H (eds) *Exploring for Iron oxide copper-gold deposits: Canada and Global analogues*. Geol Assoc Canada, Short Course Notes 20; 143–155.
- Deer, WA, Howie, R. A. and Zussman, J., 2013- An introduction to the rock-forming minerals, 3rd ed. The Mineralogical Society, London, p 478.
- Edfelt, A., 2007- The Tjärrojåkka apatite-iron and Cu (-Au) deposits, Northern Sweden: products of one ore forming event. PhD thesis, Luleå University of technology, ISSN: 1402-1544.
- Frietsch, R. and Perdahl, J. A., 1995- Rare earth elements in apatite and magnetite in Kiruna-type iron ores and some other iron ore types. *Ore Geol Rev* 9: 489-510.
- Groves, D. I., Bierlein, F. P., Meinert, L. D. and Hitzman, M. W., 2010- Iron oxide copper-gold (IOCG) deposits through Earth history: Implications for origin, lithospheric setting, and distinction from other epigenetic iron oxide deposits. *Economic Geology*, 105(3), 641-654.
- Haghipour, A., 1977- Geological Map of the Posht-e-Badam Area. Tehran, Geological Survey of Iran, scale 1: 500,000.
- Hass, J. R., Shock, E. L. and Sassani, D. C., 1995- Rare earth elements in hydrothermal systems: Estimates of standard partial molal thermodynamic properties of aqueous complexes of the rare earth elements at high pressures and temperatures. *Geochim. Cosmochim. Acta* 59, 4329-4350.
- Harlov, D.E., Wirth, R. and Förster, H. J., 2005- An experimental study of dissolution-reprecipitation in fluorapatite: fluid infiltration and the formation of monazite. *Contributions to Mineralogy and Petrology* 150: 268-286.

- Harlov, D. E., 2015- Apatite: A fingerprint for metasomatic processes, *Elements*, 11, 171–176.
- Harlov, D. E., Andersson, U. B., Förster, H. J., Nyström, J. O., Dulski, P. and Broman, C., 2002- Apatite-monazite relations in the Kiirunavaara magnetite-apatite ore, northern Sweden. *Chem. Geol.* 191, 47–72.
- Harlov, D.E. and Förster, H.J., 2003- Fluid-induced nucleation of (Y+REE)-phosphate minerals within apatite: Nature and experiment. Part II. Fluorapatite. *Amer. Min.* 88, 1209–1229.
- Harlov, D. E., Meighan, C. J., Kerr, I. D. and Samson I. M., 2016- Mineralogy, Chemistry, and Fluid-Aided Evolution of the Pea Ridge Fe Oxide-(Y + REE) Deposit, Southeast Missouri, USA, *Economic Geology*, v. 111, pp. 1963–1984.
- Harlov, D. E., Wirth, R. and Förster H. J., 2005- An experimental study of dissolution–reprecipitation in fluorapatite: fluid infiltration and the formation of monazite. *Contributions to Mineralogy and Petrology* 150: 268–286.
- Heidarian, H., Alirezaei, S., and Lentz, D. R., 2017- Apatite chemistry from Kiruna-type Bafq iron deposits, Central Iran: a review, *Mineral Resources to Discover - 14th SGA Biennial Meeting 2017*, Volume 3.
- Heidarian, H., Lentz, D. R., Alirezaei, S., McFarlane, C. R. and Peighambari, S., 2018- Multiple Stage Ore Formation in the Chadormalu Iron Deposit, Bafq Metallogenetic Province, Central Iran: Evidence from BSE Imaging and Apatite EPMA and LA-ICP-MS U-Pb Geochronology. *Minerals*, 8(3), 87.
- Hildebrand, R. S., 1986- Kiruna-type deposits; their origin and relationship to intermediate subvolcanic plutons in the Great Bear magmatic zone, Northwest Canada. *Economic Geology*, 81(3), 640–659.
- Hitzman, M. W., 2000- Iron oxide-Cu-Au deposits: what, where, when, and why. In: Porter, T.M. (Ed.), *hydrothermal Iron Oxide Copper gold & Related Deposits: A Global Perspective*, volume 1. PGC Publishing, Adelaide, Australia, pp. 9–25.
- Hitzman, M. W., Oreskes, N. and Einaudi, M. T., 1992- Geological characteristics and tectonic setting of Proterozoic iron oxide (Cu-U-Au-REE) deposits. *Precamb. Res.* 58, 241–287.
- Jami, M., 2005- Geology, Geochemistry and Evolution of the Esfordi Phosphate - Iron Deposit, Bafq Area, Central Iran, Unpublished Ph.D. Thesis. University of New South Wales, Australia.
- Knipping, J. L., Bilenker, L. D., Simon, A. C., Reich, M., Barra, F., Deditius, A. P., Wölle, M., Heinrich, C. A., Holtz, F. and Munizaga, R., 2015a- Trace elements in magnetite from massive iron oxide-apatite deposits indicate a combined formation by igneous and magmatic-hydrothermal processes. *Geochim. Cosmochim. Acta* 171, 15–38.
- Knipping, J. L., Bilenker, L. D., Simon, A. C., Reich, M., Barra, F., Deditius, A. P., Lundstrom, C., Bindeman, I. and Munizaga, R., 2015b- Giant Kiruna-type deposits form by efficient flotation of magmatic magnetite suspensions. *Geology*, 43, 591–594.
- Kryvdik, S. and Mykhaylov, V., 2001- The potential of the rare earth mineralization of Islamic republic Iran; National academy of science of Ukraine, 48 pp.
- Mao, M., Rukhlov, A. S., Rowins, Spence, J. and Coogan, L. A., 2016- Apatite Trace Element Compositions: A Robust New Tool for Mineral Exploration, *Economic Geology*, v. 111, pp. 1187–1222.
- Migdisov, A., Williams-Jones, A. E., Brugger, J. and Caporuscio, F. A., 2016- Hydrothermal transport, deposition, and fractionation of the REE: Experimental data and thermodynamic calculations, *Chemical Geology*, V.439, 13–42.
- Moore, F. and Modabberi, S., 2003- ORIGIN OF CHOGHART IRON OXIDE DEPOSIT, BAFQ MINING DISTRICT, CENTRAL IRAN: NEW ISOTOPIC AND GEOCHEMICAL EVIDENCE, *Journal of Sciences, Islamic Republic of Iran* 14(3): 259-269.
- Nystrom, J. O. and Henriquez, F., 1994- Magmatic features of iron ores of the Kiruna type in Chile and Sweden; ore textures and magnetite geochemistry. *Economic Geology*, 89(4), 820-839.
- Pan, Y. and Fleet, M. E., 2002- Composition of the fluorapatite-group minerals: Substitution mechanisms and controlling factors: Reviews in Mineralogy and Geochemistry, v. 48, p. 13 –49.
- Pan, Y., Fleet, M. E., and Macrae, N. D., 1993- Oriented monazite inclusions in apatite porphyroblasts from the Hemlo gold deposit, Ontario, Canada: *Mineralogical Magazine*, v. 57, p. 697–707.
- Piccoli, P. M. and Candela, P. A., 2002- Apatite in igneous systems: *Reviews in Mineralogy and Geochemistry*, v. 48, p. 255–292.
- Putnis, A., 2009- Mineral replacement reactions. *Reviews in mineralogy and geochemistry*, 70(1), 87-124.
- Putnis, A. and Austrheim, H., 2013. Mechanisms of Metasomatism and Metamorphism on the Local Mineral Scale: The Role of Dissolution-Reprecipitation during Mineral Re-equilibration in: D.E. Harlov and H. Austrheim: *Metasomatism and the Chemical Transformation of Rock*, Lecture Notes in Earth System Sciences, DOI 10.1007/978-3-642-28394-9_5, Springer-Verlag Berlin Heidelberg.
- Rahimi, E., Maghsoudi, A. and Hezarkhani, A., 2016- Geochemical investigation and statistical analysis on rare earth elements in Lakehsiyah deposit, Bafq district. *Journal of African Earth Sciences*, 124, 139-150.
- Rajabi, A., Canet, C., Rastad, E. and Alfonso, P., 2015- Basin evolution and stratigraphic correlation of sedimentary-exhalative Zn–Pb deposits

- of the Early Cambrian Zarigan–Chahmir Basin, Central Iran. *Ore Geology Reviews*, 64, 328–353.
- Ramezani, J. and Tucker, R. D., 2003- The Saghnd region, Central Iran: U-Pb geochronology, petrogenesis and implications for Gondwana tectonics; *American J. Sci.* 303; 622–665
- Rhodes, A. L. and Oreskes, N., 1999. Geology and Rare Earth Element Geochemistry of Magnetite Deposits at El Laco, Chile. Special Publication- Society of Economic Geologists, 17, 299-332.
- Schandl, E. S. and Gorton, M. P., 2004- A textural and geochemical guide to the identification of hydrothermal monazite; criteria for selection of samples for dating epigenetic hydrothermal ore deposits. *Economic Geology* 99, 1027–1035.
- Stosch, H. G., Romer, R. L., Daliran, F. and Rhede, D., 2011- Uranium-lead ages of apatite from iron oxide ores of the Bafq District, East Central Iran. *Mineral Deposita* 46: 9-21.
- Sverjensky, D. A., 1984- Europium redox equilibria in aqueous solution. *Earth and Planet Sci Lett* 67: 70-78.
- Taghipour, S., Kananian, A., Harlov, D. and Oberhansli R., 2015- Kiruna type iron oxide apatite deposits, Bafq district, Central Iran: fluid aided genesis of fluorapatite-monazite- xenotime assemblages. *Can. Miner.*, 53: 479-496.
- Torab, F. M. and Lehmann, B., 2007- Magnetite–apatite deposits of the Bafq district, Central Iran: apatite geochemistry and monazite geochronology. *Mineral Mag*, 71:347–363
- Webster, J. D. and Piccoli, P. M. 2015- Magmatic apatite: A powerful, yet deceptive, mineral. *Elements*, 11(3), 177-182.
- Williams, P. J., Barton, M. D., Johnson, D. A., Fontboté, L., De Haller, A., Mark, G., and Marschik, R., 2005- Iron oxide copper-gold deposits: Geology, space-time distribution, and possible modes of origin. *Economic Geology*, 371-405.
- Zhu, C. and Sverjensky D. A., 1991- Partitioning of F-Cl-OH between minerals and hydrothermal fluids. *Geochimica et Cosmochimica Acta*, 55:1837-1858.

Apatite geochemistry and development of secondary REE minerals related to the coupled dissolution-reprecipitation process in the Gazestan magnetite-apatite deposit, Bafq district, Central Iran

R. Sepehrirad^{1*}, S. Alirezaei²

¹Ph.D. Student, Faculty of Earth Sciences, University of Shahid Beheshti, Tehran, Iran

²Associate Professor, Faculty of Earth Sciences, University of Shahid Beheshti, Tehran, Iran

Received: 2018 November 12

Accepted: 2019 April 06

Abstract

The Gazestan magnetite-apatite deposit in the Bafq mining district, Central Iran, is hosted in the upper Proterozoic-lower Cambrian volcanic-sedimentary sequence, known as Rizu series, and shallow felsic-intermediate intrusions. Magnetite, commonly associated with apatite, occurred in several discordant to semi-concordant massive ore bodies of variable sizes, as well as in veins, breccia bodies, and disseminations in altered host rocks. In backscattered electron (BSE) images, the apatite displays irregular light and dark zones with variable compositions. The dark zones contain inclusions of monazite and xenotime, and are distinguished by depletions in LREE+Y, Na and Cl, and enrichments in Ca and P. Development of reaction rims around apatite crystals, the occurrence of monazite and xenotime as scattered fine grains as well as filling microfractures in the dark zones, and the occurrence of the REE minerals at apatite-magnetite boundary provide evidence for alteration of the original apatite crystals in Gazestan. There is evidence that the apatite crystals formed during original magnetite-apatite ore formation, interacted and reequilibrated with fluids. During a coupled dissolution-reprecipitation process, the original apatite partially reacted with fluids of external origin. This led to leaching/reprecipitation of certain components, in particular the REEs, and development of dark apatite zones with fine, scattered monazite and xenotime grains, as well as the occurrence of fine REE mineral grains across microscopic fractures in apatite, calcite and quartz.

Keywords: Apatite alteration, Monazite-Xenotime, Kiruna-type, Gazestan, Central Iran.

For Persian Version see pages 247 to 258

*Corresponding author: R. Sepehrirad; E-mail: sepehrirad@gmail.com